

# 用<sup>13</sup>C 和<sup>1</sup>H 核磁共振方法考察肠膜明串珠菌合成的右旋糖酐的结构

陈 素 明

(中国科学院化学研究所,北京)

许 丹 枫

(中国医学科学院血液学研究所,天津)

本文采用<sup>13</sup>C 和<sup>1</sup>H 核磁共振方法测定了 4 个由肠膜明串珠菌 (*Leuconostoc mesenteroides*) 发酵生成的右旋糖酐的分子结构。其结果表明发酵条件的差异对右旋糖酐分子结构的变化影响不大。

关键词 右旋糖酐; 结构

右旋糖酐(以下简称右酐)是一种经微生物发酵产生的多糖, 它作为一种抗休克和改善微循环的药物已在临床普遍应用。目前国内已推广使用的发酵菌种是肠膜明串珠菌 (*Leuconostoc mesenteroides*)<sup>[1]</sup>, 它是由中国医学科学院血液学研究所筛选的, 由于发酵条件会影响右酐分子结构的变化, 而右酐在临床使用中的疗效和副作用又与它的分子结构有密切关系<sup>[2-3]</sup>。为了考察采用肠膜明串珠菌生成的右酐的稳定性, 我们采用<sup>13</sup>C 和<sup>1</sup>H 核磁共振方法对右酐的结构进行了研究。测定了 4 个来自不同药厂的制品。

## 材料与方法

### (一) 菌株

肠膜状明串珠菌 (*Leuconostoc mesenteroides*) (中国医学科学院血液学研究所提供)。

### (二) 发酵条件与方法

生产右酐的培养基配方见参考文献[1]。各药厂生产的右酐其具体条件可能有差异。

### (三) 右酐制品

8308106(上海长征制药厂)、790616(天津新华食品厂)、830606(江苏黄海制药厂)、8147(四

川新都解放军某医院药厂)

以上 4 个样品均为中分子右酐, 特性粘度  $[\eta]$  为 0.191—0.260, 其质量均符合中华人民共和国药典规定。

### (四) 结构测定条件

以上 4 个右酐制品经部分酸水解后, 用核磁共振方法测定。

<sup>13</sup>C 核磁共振谱用 JEOL JNM-FX100 核磁共振仪测定, 工作频率为 25.05MHz, 以 D<sub>2</sub>O(重水)为溶剂, DSS (4, 4-二甲基-4-硅代戊二酸钠)为内标, 样品浓度约为 400mg/ml, 在 90℃ 测量。

<sup>1</sup>H 核磁共振谱用法国 CAMECA 250MHz 超导核磁共振仪测定, D<sub>2</sub>O 为溶剂, DSS 为内标, 浓度约为 100mg/ml, 在 90℃ 测量。

### (五) 参照物

Dextran T70 为瑞典 Pharmacia 药厂生产的右旋糖酐; B-640 为直链右酐。

## 结果与讨论

### (一) <sup>13</sup>C-NMR 测定结果

上述样品<sup>13</sup>C 核磁共振谱的化学位移值见表 1。图 1 为 830606 右酐的<sup>13</sup>C 核磁共振谱。从表 1 可见四个样品谱峰的化学

本文于 1985 年 2 月 19 日收到。

表1 右酐中葡萄糖基的<sup>13</sup>C-NMR 谱的化学位移Table 1 Chemical shifts in <sup>13</sup>C-NMR spectra of dextran containing glucosyl residues at 90°C

	T70	790616	830606	8308106	8147	B-640*
A	101.40	101.40	101.30	101.35	101.35	
		100.48	100.48			
	99.99	99.99	99.94	99.84	99.89	99.54
	99.36	99.30	99.21	99.21	99.30	
		98.68	98.58	98.60		
	84.09	83.98	83.99	83.89	83.89	
	83.40	83.40	83.45	83.31	83.40	
	82.97					
B		78.30	78.25	78.20	78.15	
		76.55	76.46	76.45	76.50	
			76.16		76.35	
	75.77	75.77	75.72	75.62	75.67	75.19
C	75.38	75.38	75.33		74.85	
	74.12	74.12	74.02	73.97	74.02	
	73.77	73.77	73.73	73.68	73.68	73.20
D	73.24					
	73.14	73.09	73.19	72.95		
	72.56	72.56	72.46	72.41	72.46	72.01
E	72.17	72.22	72.12	72.07	72.12	71.62
	71.64		71.34	71.40		
F	68.38	68.38	68.33	68.28	68.33	67.80
	63.13	63.13	63.08	63.03	63.08	

\* 直链右酐(化学位移相对于四甲基硅烷)

linear dextran (shifts relative to tetramethylsilane)

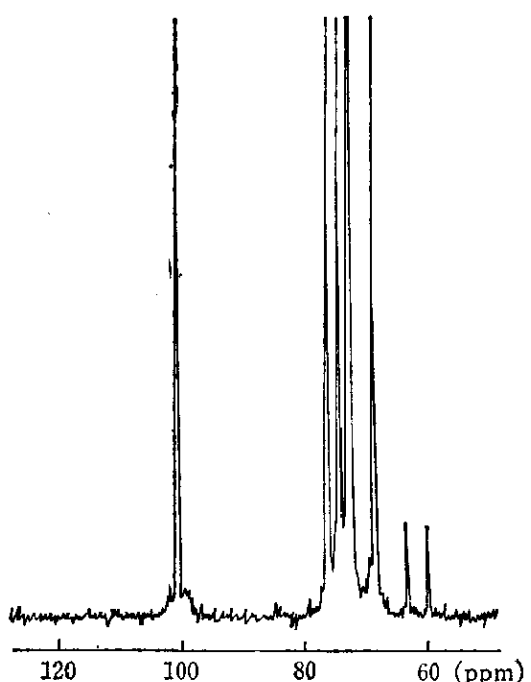
位移很相近,并与T70相似。

除观察到右酐分子中  $\alpha$ -D-(1→6) 糖苷键形成的 A、B、C、D、E、F 6 个具有特征的谱峰外<sup>[3]</sup>,还出现两个非  $\alpha$ -D-(1→6),这是侧链分支点的特征谱峰<sup>[4-5]</sup>。其化学位移为 83.89—84.09 及 83.39—83.45 ppm 处代表右酐分子中侧链分支点的葡萄糖基为  $\alpha$ -D-(1→3) 的糖苷键;而化学位移

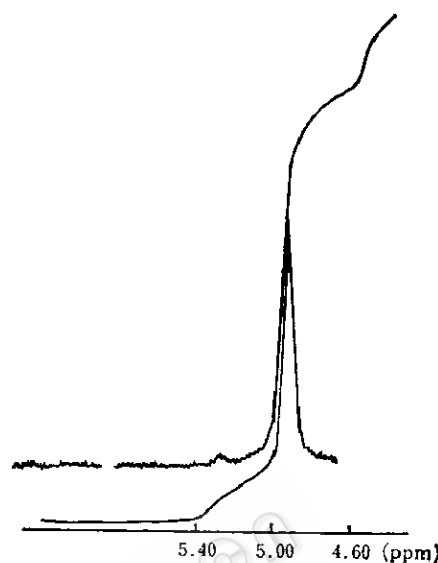
76.45—76.55 和 78.15—78.30 ppm 处代表分子中  $\alpha$ -D-(1→2) 糖苷键。上述结果表明所测 4 个样品其糖苷键中葡萄糖残基的主链与侧链位置几乎完全一致,并与 T70 很类似。由此可以推断由肠膜明串珠菌合成的右酐,其主链是以  $\alpha$ -D-(1→6) 糖苷键连接,侧链支点由  $\alpha$ -D-(1→3) 和  $\alpha$ -D-(1→2) 组成。

表2 右酐中葡萄糖基的<sup>1</sup>H-NMR 谱的部分化学位移(90°C 测定)Table 2 Chemical shifts in <sup>1</sup>H-NMR spectra dextran containing glucosyl residues

样 品 Sample	化学位移 (1→6) Shift(ppm)	化学位移 (1→3) Shift(ppm)	非(1→6)率(%) non-(1→6)
T 70	4.91	5.25	5.0
8147	4.92	5.24	5.3
8308106	4.91	5.24	5.5
790616	4.92	5.27	—

图 1 右酐(S30606)<sup>13</sup>C 核磁共振光谱Fig. 1 <sup>13</sup>C-NMR spectra for dextran(S30606)

百分率分别为 95% 和 5% (由于 2 位支点糖苷键含量太少未能单独表示)。

图 2 右酐(790616)<sup>1</sup>H 核磁共振光谱Fig. 2 <sup>1</sup>H-NMR Spectra for Dextran(790616)

(二) <sup>1</sup>H-NMR 测定结果  
<sup>1</sup>H-NMR 的部分化学位移参数见表 2, 图 2 为右酐(790616)的<sup>1</sup>H 核磁共振谱。表 2 参数说明肠膜明串珠菌 (*Leuconostoc mesenteroides*) 在使用过程中, 没有因地区、糖源、氮源及水质等条件的差异而改变其合成产物的结构。

综上所述, <sup>13</sup>C 和 <sup>1</sup>H-NMR 谱的结果说明肠膜明串珠菌 (*Leuconostoc mesenteroides*) 在使用过程中, 没有因地区、糖源、氮源及水质等条件的差异而改变其合成产物的结构。

## 参 考 文 献

- [1] 林大钢等: 输血及血液学杂志, 3(3): 10—12, 1979.
- [2] Jeanes, A. et al.: J. A. C. S., 76: 5041, 1954.
- [3] Barker, S. A. et al.: J. Chem. Soc., 2096, 1955.
- [4] Seymour, F. R. et al.: Carbohydrate Research, 71: 231—250, 1979.
- [5] Seymour, F. R. et al.: Carbohydrate Research, 74: 41—62, 1979.
- [6] Sidebotham, R. L.: Advances in Carbohydrate Chemistry and Biochemistry, 30: 371—444, 1974.

## STRUCTURE DETERMINATION OF DEXTRAN BY <sup>1H</sup> AND <sup>13</sup>C-NMR SPECTROSCOPY

Chen Suming

(Institute of Chemistry, Academia Sinica, Beijing)

Xu Danfeng

(Institute of Hematology, Chinese Academy of Medical Sciences, Tianjin)

Clinical dextran is obtained by fermentation of strain *Leuconostoc mesenteroides*. Four samples of dextran were analysed by <sup>1H</sup> and <sup>13</sup>C-NMR spectroscopy. The results show that the structure of dextran produced by *L. mesenteroides* is

probably independent of fermenting condition of the strain.

### Key words

Dextran; Structure